

Eingabe: Farbmétrisches Reflexions-System NCS11

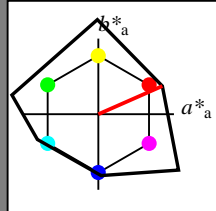
für Buntton  $h^* = lab^*h = 24/360 = 0.066$ 

LAB\*LCH, LAB\*NCH

D65: Buntton R

LCH\*Ma: 47 92 24

olv\*Ma: 1.0 0.0 0.0



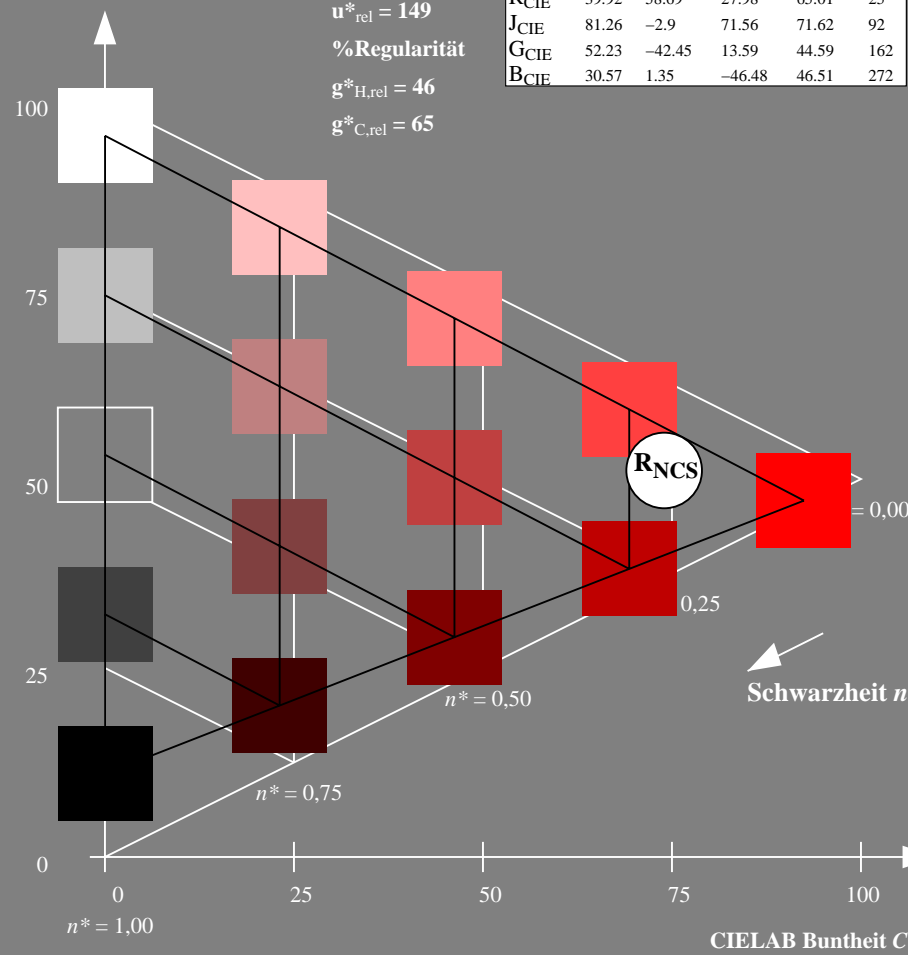
NCS11; adaptierte CIELAB-Daten					
	$L^*=L_a^*$	$a_a^*$	$b_a^*$	$C_{ab,a}^*$	$h_{ab,a}^*$
R <sub>Ma</sub>	47.15	84.64	37.25	92.48	24
J <sub>Ma</sub>	91.37	-1.27	125.03	125.03	91
G <sub>Ma</sub>	63.07	-114.28	25.35	117.06	167
G50B <sub>Ma</sub>	59.47	-80.6	-33.45	87.28	203
B <sub>Ma</sub>	49.01	3.65	-81.19	81.28	273
B50R <sub>Ma</sub>	44.06	106.09	-73.93	129.32	325
N <sub>Ma</sub>	10.99	0.0	0.0	0.0	0
W <sub>Ma</sub>	95.41	0.0	0.0	0.0	0
R <sub>CIE</sub>	39.92	58.69	27.98	65.01	25
J <sub>CIE</sub>	81.26	-2.9	71.56	71.62	92
G <sub>CIE</sub>	52.23	-42.45	13.59	44.59	162
B <sub>CIE</sub>	30.57	1.35	-46.48	46.51	272

CIELAB-Helligkeit  $L^*$ 

%Umfang

 $u_{rel}^* = 149$ 

%Regularität

 $g_{H,rel}^* = 46$  $g_{C,rel}^* = 65$ TG390-7, 5 stufige Reihen für konstanten CIELAB Buntton  $24/360 = 0.066$  (links)

Ausgabe: Farbmétrisches Reflexions-System NCS11

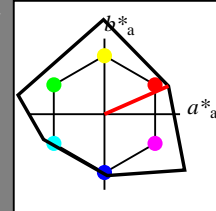
für Buntton  $h^* = lab^*h = 24/360 = 0.066$ 

LAB\*LCH, LAB\*NCH

D65: Buntton R

LCH\*Ma: 47 92 24

olv\*Ma: 1.0 0.0 0.0



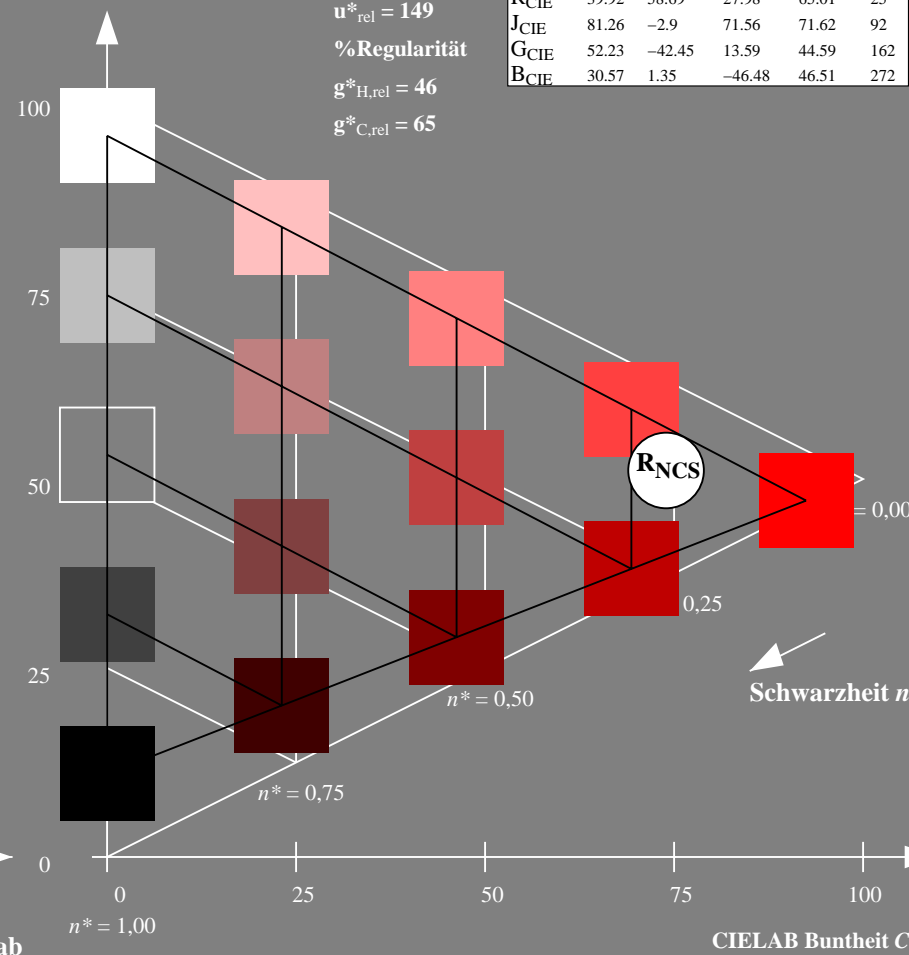
NCS11; adaptierte CIELAB-Daten					
	$L^*=L_a^*$	$a_a^*$	$b_a^*$	$C_{ab,a}^*$	$h_{ab,a}^*$
R <sub>Ma</sub>	47.15	84.64	37.25	92.48	24
J <sub>Ma</sub>	91.37	-1.27	125.03	125.03	91
G <sub>Ma</sub>	63.07	-114.28	25.35	117.06	167
G50B <sub>Ma</sub>	59.47	-80.6	-33.45	87.28	203
B <sub>Ma</sub>	49.01	3.65	-81.19	81.28	273
B50R <sub>Ma</sub>	44.06	106.09	-73.93	129.32	325
N <sub>Ma</sub>	10.99	0.0	0.0	0.0	0
W <sub>Ma</sub>	95.41	0.0	0.0	0.0	0
R <sub>CIE</sub>	39.92	58.69	27.98	65.01	25
J <sub>CIE</sub>	81.26	-2.9	71.56	71.62	92
G <sub>CIE</sub>	52.23	-42.45	13.59	44.59	162
B <sub>CIE</sub>	30.57	1.35	-46.48	46.51	272

CIELAB-Helligkeit  $L^*$ 

%Umfang

 $u_{rel}^* = 149$ 

%Regularität

 $g_{H,rel}^* = 46$  $g_{C,rel}^* = 65$ 5 stufige Reihen für konstanten CIELAB Buntton  $24/360 = 0.066$  (rechts)

BAM-Prüfvorlage TG39; Farbmétrik-Systeme ORS18 &amp; ORS18 input: olv\* setrgbcolor

D65: Koordinaten-Systeme von 5stufigen Farbreihen für 10 Bunttoninput: Startup (S) data dependend

Eingabe: Farbmétrisches Reflexions-System NCS11

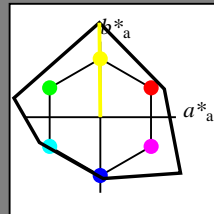
für Buntton  $h^* = lab \cdot h = 91/360 = 0.252$ 

LAB\*LCH, LAB\*NCH

D65: Buntton J

LCH\*Ma: 91 125 91

olv\*Ma: 1.0 1.0 0.0



NCS11; adaptierte CIELAB-Daten

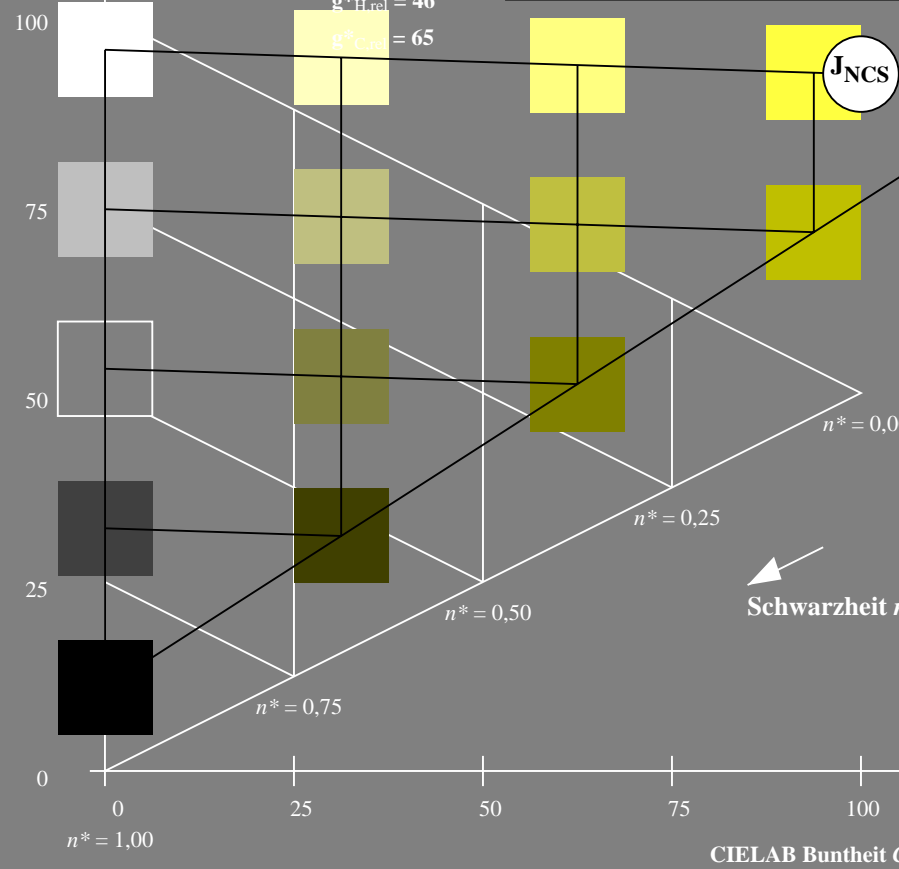
	$L^* = L^*_a$	$a^*_a$	$b^*_a$	$C^*_{ab,a}$	$h^*_{ab,a}$
R <sub>Ma</sub>	47.15	84.64	37.25	92.48	24
J <sub>Ma</sub>	91.37	-1.27	125.03	125.03	91
G <sub>Ma</sub>	63.07	-114.28	25.35	117.06	167
G50B <sub>Ma</sub>	59.47	-80.6	-33.45	87.28	203
B <sub>Ma</sub>	49.01	3.65	-81.19	81.28	273
B50R <sub>Ma</sub>	44.06	106.09	-73.93	129.32	325
N <sub>Ma</sub>	10.99	0.0	0.0	0.0	0
W <sub>Ma</sub>	95.41	0.0	0.0	0.0	0
R <sub>CIE</sub>	39.92	58.69	27.98	65.01	25
J <sub>CIE</sub>	81.26	-2.9	71.56	71.62	92
G <sub>CIE</sub>	52.23	-42.45	13.59	44.59	162
B <sub>CIE</sub>	30.57	1.35	-46.48	46.51	272

CIELAB-Helligkeit  $L^*$ 

%Umfang

 $u^*_{rel} = 149$ 

%Regularität

 $g^*_{H,rel} = 46$  $g^*_{C,rel} = 65$ 

Ausgabe: Farbmétrisches Reflexions-System NCS11

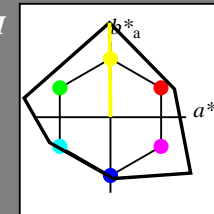
für Buntton  $h^* = lab \cdot h = 91/360 = 0.252$ 

LAB\*LCH, LAB\*NCH

D65: Buntton J

LCH\*Ma: 91 125 91

olv\*Ma: 1.0 1.0 0.0



NCS11; adaptierte CIELAB-Daten

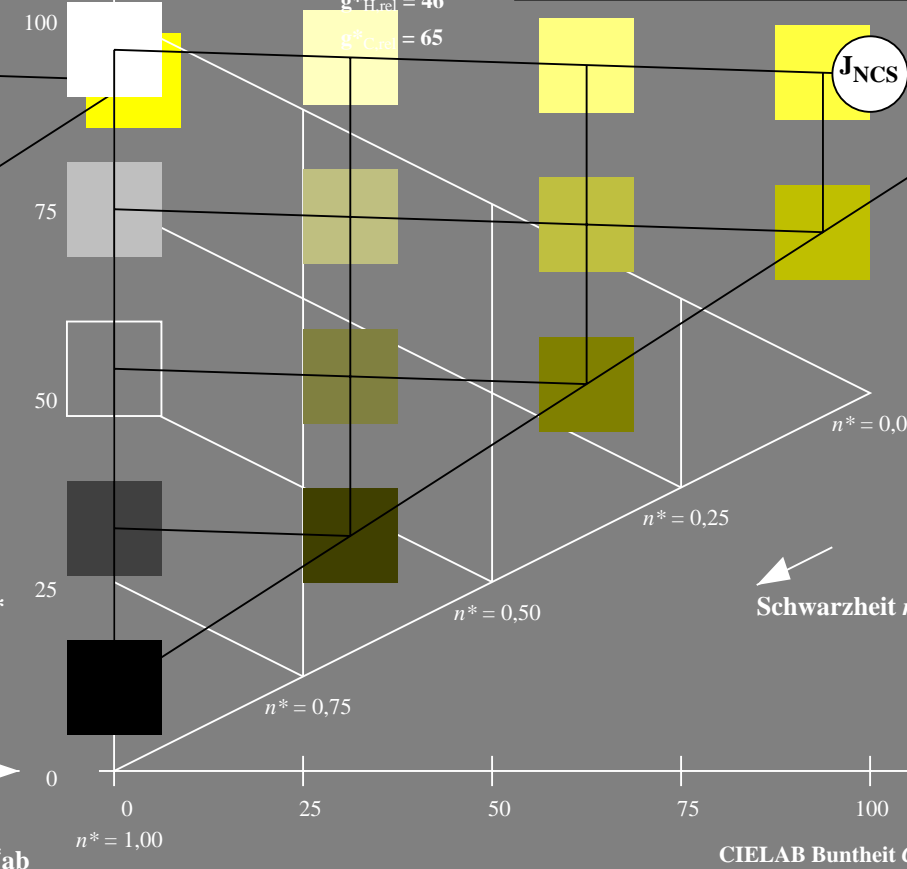
	$L^* = L^*_a$	$a^*_a$	$b^*_a$	$C^*_{ab,a}$	$h^*_{ab,a}$
R <sub>Ma</sub>	47.15	84.64	37.25	92.48	24
J <sub>Ma</sub>	91.37	-1.27	125.03	125.03	91
G <sub>Ma</sub>	63.07	-114.28	25.35	117.06	167
G50B <sub>Ma</sub>	59.47	-80.6	-33.45	87.28	203
B <sub>Ma</sub>	49.01	3.65	-81.19	81.28	273
B50R <sub>Ma</sub>	44.06	106.09	-73.93	129.32	325
N <sub>Ma</sub>	10.99	0.0	0.0	0.0	0
W <sub>Ma</sub>	95.41	0.0	0.0	0.0	0
R <sub>CIE</sub>	39.92	58.69	27.98	65.01	25
J <sub>CIE</sub>	81.26	-2.9	71.56	71.62	92
G <sub>CIE</sub>	52.23	-42.45	13.59	44.59	162
B <sub>CIE</sub>	30.57	1.35	-46.48	46.51	272

CIELAB-Helligkeit  $L^*$ 

%Umfang

 $u^*_{rel} = 149$ 

%Regularität

 $g^*_{H,rel} = 46$  $g^*_{C,rel} = 65$ 

TG390-7, 5 stufige Reihen für konstanten CIELAB Buntton 91/360 = 0.252 (links)

5 stufige Reihen für konstanten CIELAB Buntton 91/360 = 0.252 (rechts)

BAM-Prüfvorlage TG39; Farbmétrik-Systeme ORS18 &amp; ORS18 input: olv\* setrgbcolor

D65: Koordinaten-Systeme von 5stufigen Farbreihen für 10 Buntton input: Startup (S) data dependend

## Eingabe: Farbmétrisches Reflexions-System NCS11

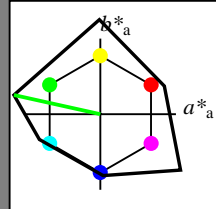
**für Buntton  $h^* = lab^*h = 167/360 = 0.465$**

**LAB\*LCH, LAB\*NCH**

## D65: Buntton G

**LCH\*Ma: 63 117 167**

olv\*Ma: 0.0 1.0 0.0



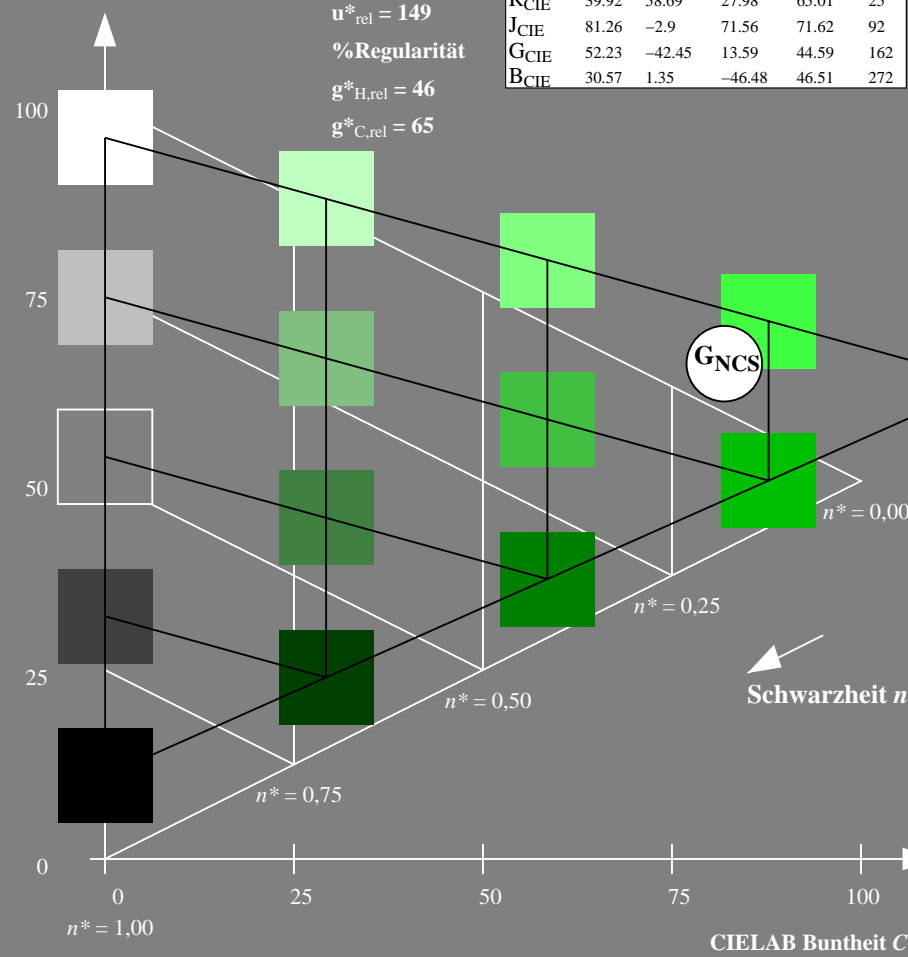
NCS11; adaptierte CIELAB-Daten					
	$L^* = L^*_a$	$a^*_a$	$b^*_a$	$C^*_{ab,a}$	$h^*_{ab,a}$
R <sub>Ma</sub>	47.15	84.64	37.25	92.48	24
J <sub>Ma</sub>	91.37	-1.27	125.03	125.03	91
G <sub>Ma</sub>	63.07	-114.28	25.35	117.06	167
G50B <sub>Ma</sub>	59.47	-80.6	-33.45	87.28	203
B <sub>Ma</sub>	49.01	3.65	-81.19	81.28	273
B50R <sub>Ma</sub>	44.06	106.09	-73.93	129.32	325
N <sub>Ma</sub>	10.99	0.0	0.0	0.0	0
W <sub>Ma</sub>	95.41	0.0	0.0	0.0	0
R <sub>CIE</sub>	39.92	58.69	27.98	65.01	25
J <sub>CIE</sub>	81.26	-2.9	71.56	71.62	92
G <sub>CIE</sub>	52.23	-42.45	13.59	44.59	162
B <sub>CIE</sub>	30.57	1.35	-46.48	46.51	272

**CIELAB-Helligkeit  $L^*$**

**%Umfang**

$$\mathbf{u}_{\text{rel}}^* = 149$$

### %Regularität

$$g^*_{H,rel} = 46$$
$$g^*_{C,rel} = 65$$
TG390–7, 5 stufige Reihen für konstanten CIELAB Buntton  $167/360 = 0.465$  (links)

BAM-Prüfvorlage TG39; Farbmatrik-Systeme ORS18 & ORS18 input: *olv\* setrgbcolor*

**Ausgabe: Farbmétrisches Reflexions-System NCS11**

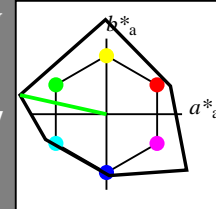
**für Buntton  $h^* = lab^*h = 167/360 = 0.465$**

*LAB\*LCH, LAB\*NCH*

D65: Buntton G

**LCH\*Ma: 63 117 167**

**olv\*Ma: 0.0 1.0 0.0**



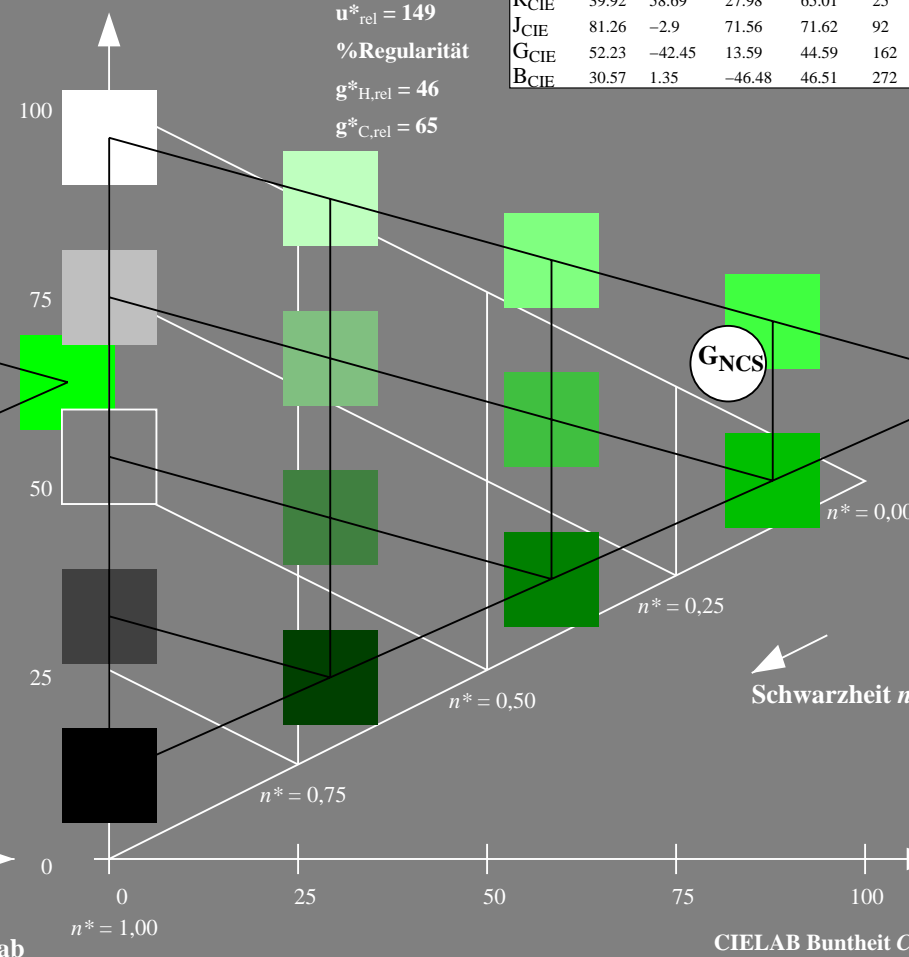
NCS11; adaptierte CIELAB-Daten					
	$L^*_{*a}$	$a^*_{*a}$	$b^*_{*a}$	$C^*_{ab,a}$	$h^*_{ab,a}$
R <sub>Ma</sub>	47.15	84.64	37.25	92.48	24
J <sub>Ma</sub>	91.37	-1.27	125.03	125.03	91
G <sub>Ma</sub>	63.07	-114.28	25.35	117.06	167
G50B <sub>Ma</sub>	59.47	-80.6	-33.45	87.28	203
B <sub>Ma</sub>	49.01	3.65	-81.19	81.28	273
B50R <sub>Ma</sub>	44.06	106.09	-73.93	129.32	325
N <sub>Ma</sub>	10.99	0.0	0.0	0.0	0
W <sub>Ma</sub>	95.41	0.0	0.0	0.0	0
R <sub>CIE</sub>	39.92	58.69	27.98	65.01	25
J <sub>CIE</sub>	81.26	-2.9	71.56	71.62	92
G <sub>CIE</sub>	52.23	-42.45	13.59	44.59	162
B <sub>CIE</sub>	30.57	1.35	-46.48	46.51	272

**CIELAB-Helligkeit  $L^*$**

**%Umfang**

$$\mathbf{u}_{\text{rel}}^* = 149$$

**%Regularität**

$$g^*_{H,rel} = 46$$
$$g^*_{C,rel} = 65$$


5 stufige Reihen für konstanten CIELAB Buntton  $167/360 = 0.465$  (rechts)

Eingabe: Farbmatisches Reflexions-System NCS11

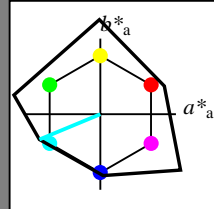
für Buntton  $h^* = lab \cdot h = 203/360 = 0.563$ 

LAB\*LCH, LAB\*NCH

D65: Buntton G50B

LCH\*Ma: 59 87 203

olv\*Ma: 0.0 1.0 1.0



NCS11; adaptierte CIELAB-Daten

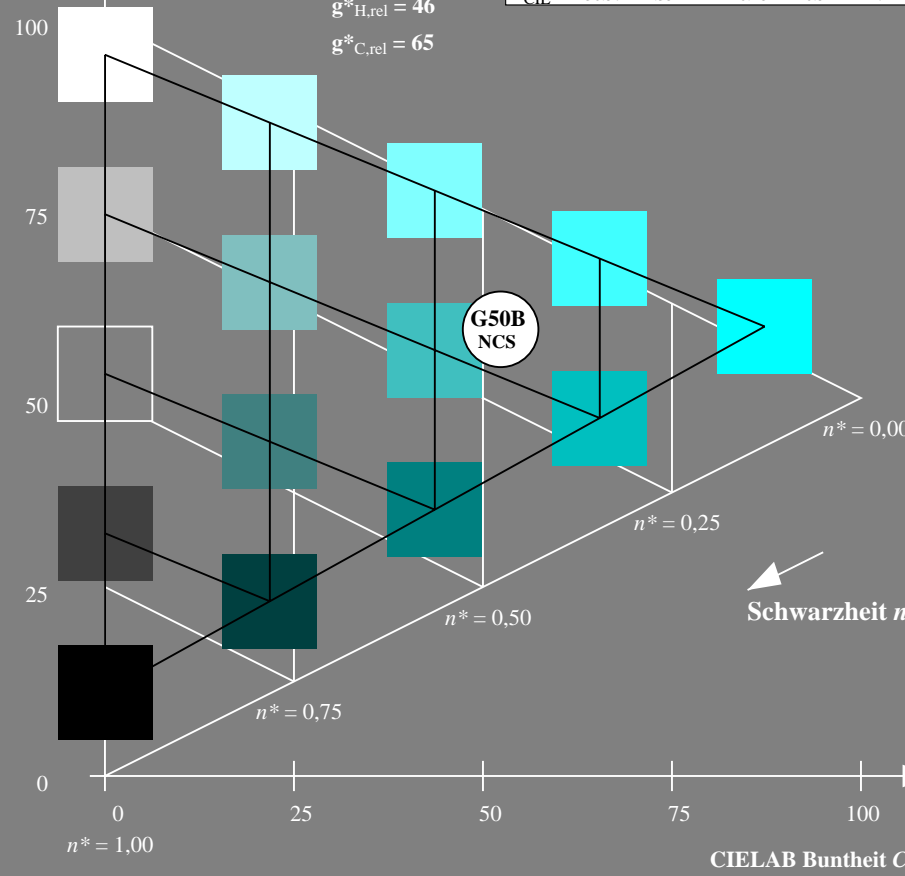
	$L^*=L_a^*$	$a_a^*$	$b_a^*$	$C_{ab,a}^*$	$h_{ab,a}^*$
R <sub>Ma</sub>	47.15	84.64	37.25	92.48	24
J <sub>Ma</sub>	91.37	-1.27	125.03	125.03	91
G <sub>Ma</sub>	63.07	-114.28	25.35	117.06	167
G50B <sub>Ma</sub>	59.47	-80.6	-33.45	87.28	203
B <sub>Ma</sub>	49.01	3.65	-81.19	81.28	273
B50R <sub>Ma</sub>	44.06	106.09	-73.93	129.32	325
N <sub>Ma</sub>	10.99	0.0	0.0	0.0	0
W <sub>Ma</sub>	95.41	0.0	0.0	0.0	0
R <sub>CIE</sub>	39.92	58.69	27.98	65.01	25
J <sub>CIE</sub>	81.26	-2.9	71.56	71.62	92
G <sub>CIE</sub>	52.23	-42.45	13.59	44.59	162
B <sub>CIE</sub>	30.57	1.35	-46.48	46.51	272

CIELAB-Helligkeit  $L^*$ 

%Umfang

 $u_{rel}^* = 149$ 

%Regularität

 $g_{H,rel}^* = 46$  $g_{C,rel}^* = 65$ 

TG390-7, 5 stufige Reihen für konstanten CIELAB Buntton 203/360 = 0.563 (links)

BAM-Prüfvorlage TG39; Farbmatrik-Systeme ORS18 &amp; ORS18 input: olv\* setrgbcolor

D65: Koordinaten-Systeme von 5stufigen Farbreihen für 10 Bunttoninput: Startup (S) data dependend

Ausgabe: Farbmatisches Reflexions-System NCS11

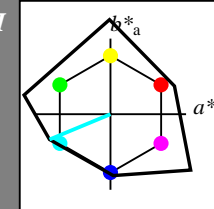
für Buntton  $h^* = lab \cdot h = 203/360 = 0.563$ 

LAB\*LCH, LAB\*NCH

D65: Buntton G50B

LCH\*Ma: 59 87 203

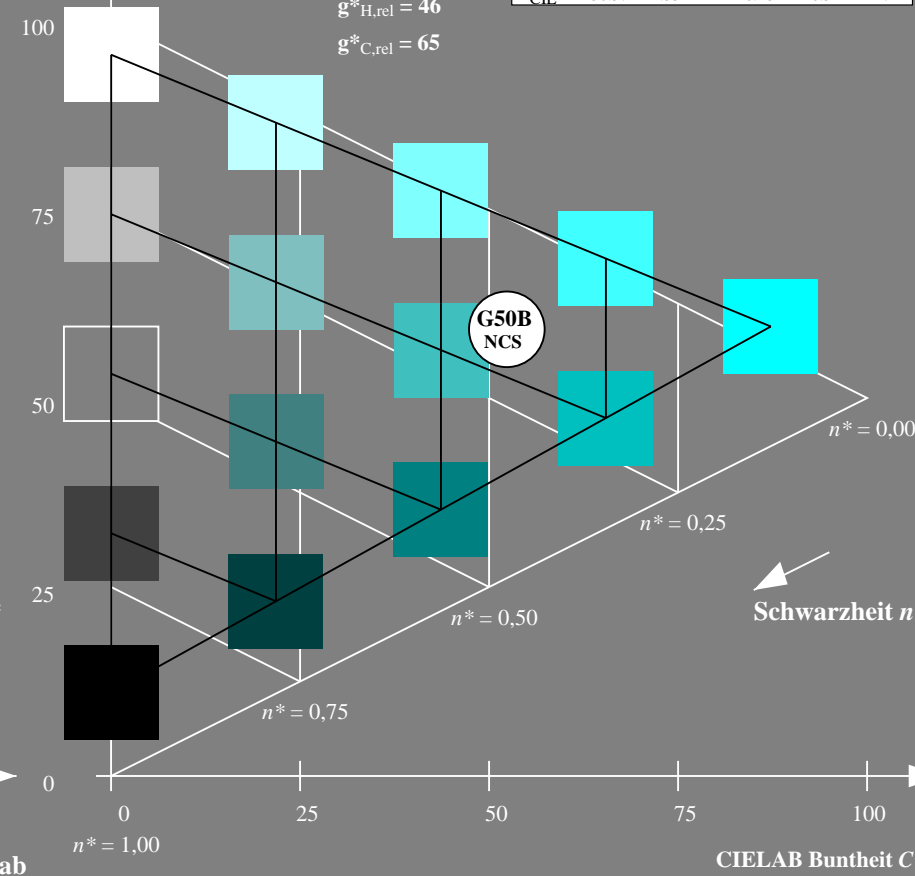
olv\*Ma: 0.0 1.0 1.0

CIELAB-Helligkeit  $L^*$ 

%Umfang

 $u_{rel}^* = 149$ 

%Regularität

 $g_{H,rel}^* = 46$  $g_{C,rel}^* = 65$ 

5 stufige Reihen für konstanten CIELAB Buntton 203/360 = 0.563 (rechts)

Eingabe: Farbmétrisches Reflexions-System NCS11

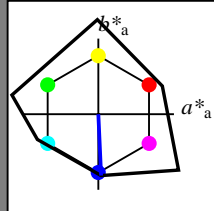
für Buntton  $h^* = lab \cdot h = 273/360 = 0.757$ 

LAB\*LCH, LAB\*NCH

D65: Buntton B

LCH\*Ma: 49 81 273

olv\*Ma: 0.0 0.0 1.0



NCS11; adaptierte CIELAB-Daten

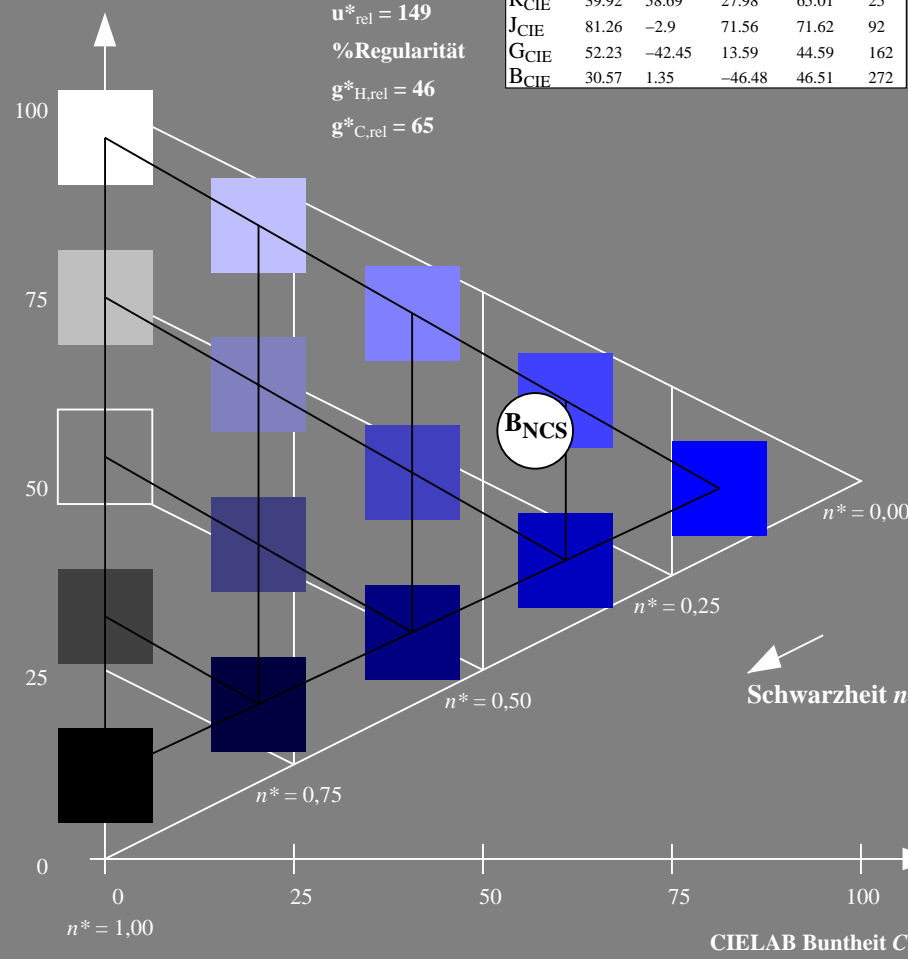
	$L^*=L_a^*$	$a_a^*$	$b_a^*$	$C_{ab,a}^*$	$h_{ab,a}^*$
R <sub>Ma</sub>	47.15	84.64	37.25	92.48	24
J <sub>Ma</sub>	91.37	-1.27	125.03	125.03	91
G <sub>Ma</sub>	63.07	-114.28	25.35	117.06	167
G50B <sub>Ma</sub>	59.47	-80.6	-33.45	87.28	203
B <sub>Ma</sub>	49.01	3.65	-81.19	81.28	273
B50R <sub>Ma</sub>	44.06	106.09	-73.93	129.32	325
N <sub>Ma</sub>	10.99	0.0	0.0	0.0	0
W <sub>Ma</sub>	95.41	0.0	0.0	0.0	0
R <sub>CIE</sub>	39.92	58.69	27.98	65.01	25
J <sub>CIE</sub>	81.26	-2.9	71.56	71.62	92
G <sub>CIE</sub>	52.23	-42.45	13.59	44.59	162
B <sub>CIE</sub>	30.57	1.35	-46.48	46.51	272

CIELAB-Helligkeit  $L^*$ 

%Umfang

 $u_{rel}^* = 149$ 

%Regularität

 $g_{H,rel}^* = 46$  $g_{C,rel}^* = 65$ 

TG390-7, 5 stufige Reihen für konstanten CIELAB Buntton 273/360 = 0.757 (links)

BAM-Prüfvorlage TG39; Farbmétrik-Systeme ORS18 &amp; ORS18 input: olv\* setrgbcolor

D65: Koordinaten-Systeme von 5stufigen Farbreihen für 10 Bunttoninput: Startup (S) data dependend

Ausgabe: Farbmétrisches Reflexions-System NCS11

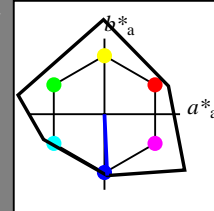
für Buntton  $h^* = lab \cdot h = 273/360 = 0.757$ 

LAB\*LCH, LAB\*NCH

D65: Buntton B

LCH\*Ma: 49 81 273

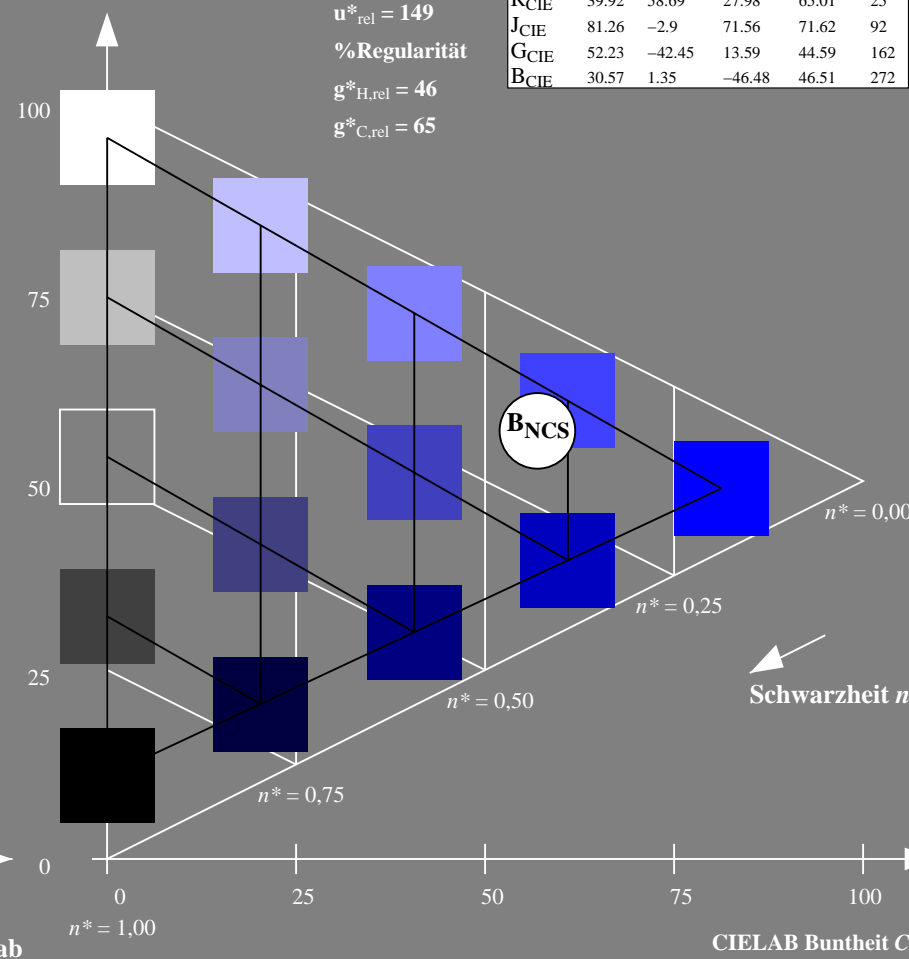
olv\*Ma: 0.0 0.0 1.0

CIELAB-Helligkeit  $L^*$ 

%Umfang

 $u_{rel}^* = 149$ 

%Regularität

 $g_{H,rel}^* = 46$  $g_{C,rel}^* = 65$ 

5 stufige Reihen für konstanten CIELAB Buntton 273/360 = 0.757 (rechts)

Eingabe: Farbmétrisches Reflexions-System NCS11

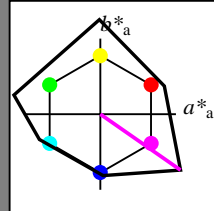
für Buntton  $h^* = lab^*h = 325/360 = 0.903$ 

LAB\*LCH, LAB\*NCH

D65: Buntton B50R

LCH\*Ma: 44 129 325

olv\*Ma: 1.0 0.0 1.0



NCS11; adaptierte CIELAB-Daten

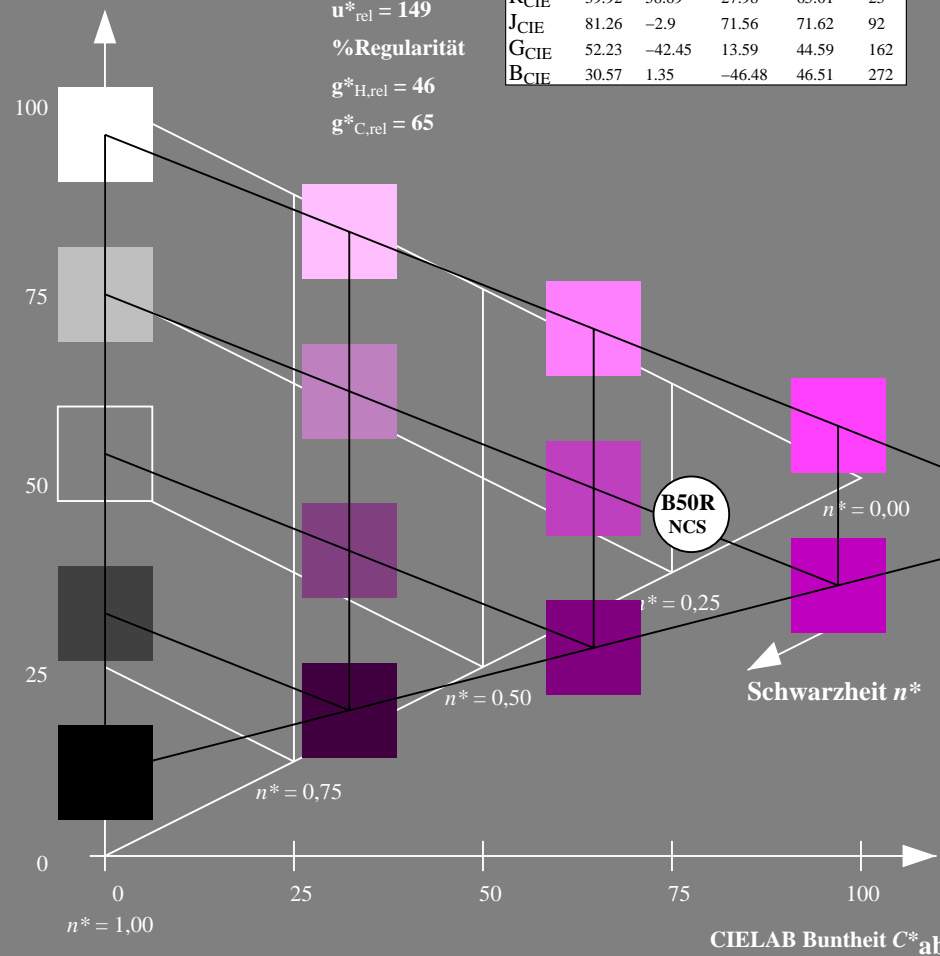
	$L^*=L_a^*$	$a_a^*$	$b_a^*$	$C_{ab,a}^*$	$h_{ab,a}^*$
R <sub>Ma</sub>	47.15	84.64	37.25	92.48	24
J <sub>Ma</sub>	91.37	-1.27	125.03	125.03	91
G <sub>Ma</sub>	63.07	-114.28	25.35	117.06	167
G50B <sub>Ma</sub>	59.47	-80.6	-33.45	87.28	203
B <sub>Ma</sub>	49.01	3.65	-81.19	81.28	273
B50R <sub>Ma</sub>	44.06	106.09	-73.93	129.32	325
N <sub>Ma</sub>	10.99	0.0	0.0	0.0	0
W <sub>Ma</sub>	95.41	0.0	0.0	0.0	0
R <sub>CIE</sub>	39.92	58.69	27.98	65.01	25
J <sub>CIE</sub>	81.26	-2.9	71.56	71.62	92
G <sub>CIE</sub>	52.23	-42.45	13.59	44.59	162
B <sub>CIE</sub>	30.57	1.35	-46.48	46.51	272

CIELAB-Helligkeit  $L^*$ 

%Umfang

 $u^*_{rel} = 149$ 

%Regularität

 $g^*_{H,rel} = 46$  $g^*_{C,rel} = 65$ 

TG390-7, 5 stufige Reihen für konstanten CIELAB Buntton 325/360 = 0.903 (links)

Ausgabe: Farbmétrisches Reflexions-System NCS11

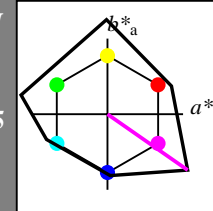
für Buntton  $h^* = lab^*h = 325/360 = 0.903$ 

LAB\*LCH, LAB\*NCH

D65: Buntton B50R

LCH\*Ma: 44 129 325

olv\*Ma: 1.0 0.0 1.0



NCS11; adaptierte CIELAB-Daten

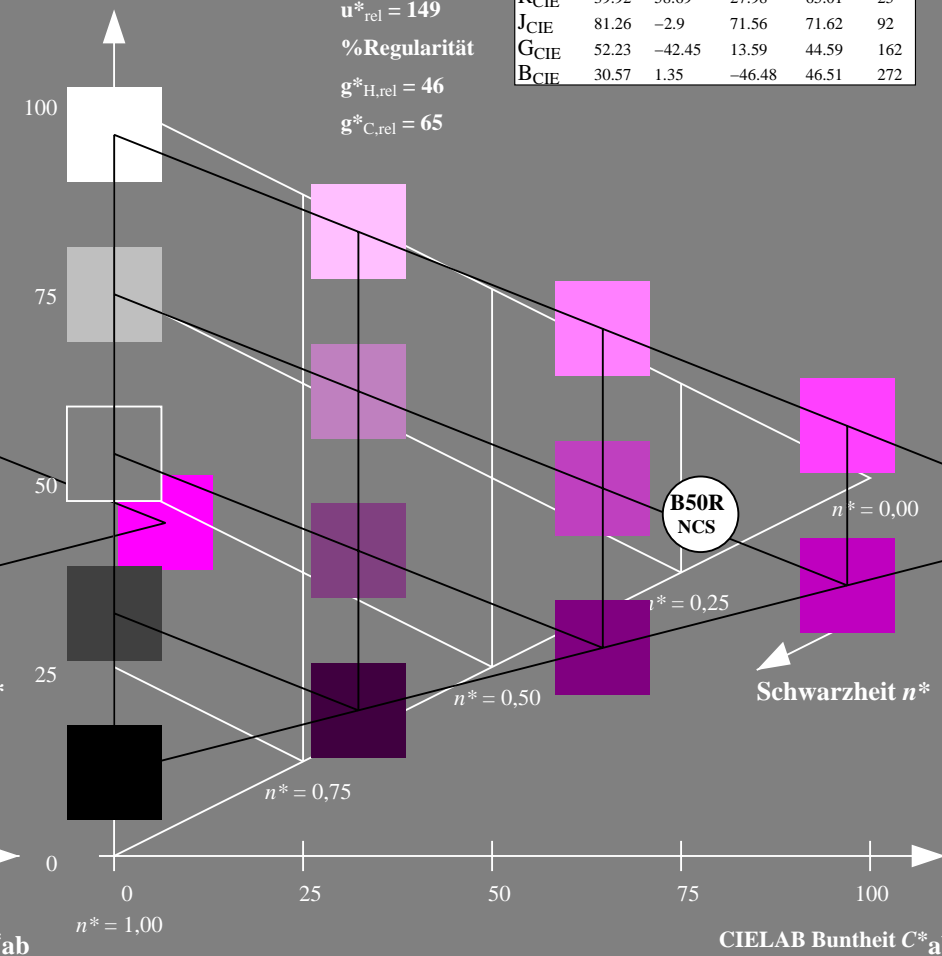
	$L^*=L_a^*$	$a_a^*$	$b_a^*$	$C_{ab,a}^*$	$h_{ab,a}^*$
R <sub>Ma</sub>	47.15	84.64	37.25	92.48	24
J <sub>Ma</sub>	91.37	-1.27	125.03	125.03	91
G <sub>Ma</sub>	63.07	-114.28	25.35	117.06	167
G50B <sub>Ma</sub>	59.47	-80.6	-33.45	87.28	203
B <sub>Ma</sub>	49.01	3.65	-81.19	81.28	273
B50R <sub>Ma</sub>	44.06	106.09	-73.93	129.32	325
N <sub>Ma</sub>	10.99	0.0	0.0	0.0	0
W <sub>Ma</sub>	95.41	0.0	0.0	0.0	0
R <sub>CIE</sub>	39.92	58.69	27.98	65.01	25
J <sub>CIE</sub>	81.26	-2.9	71.56	71.62	92
G <sub>CIE</sub>	52.23	-42.45	13.59	44.59	162
B <sub>CIE</sub>	30.57	1.35	-46.48	46.51	272

CIELAB-Helligkeit  $L^*$ 

%Umfang

 $u^*_{rel} = 149$ 

%Regularität

 $g^*_{H,rel} = 46$  $g^*_{C,rel} = 65$ 

5 stufige Reihen für konstanten CIELAB Buntton 325/360 = 0.903 (rechts)

BAM-Prüfvorlage TG39; Farbmétrik-Systeme ORS18 &amp; ORS18 input: olv\* setrgbcolor

D65: Koordinaten-Systeme von 5stufigen Farbreihen für 10 Bunttoninput: Startup (S) data dependend



Eingabe: Farbmimetrisches Reflexions-System NCS11

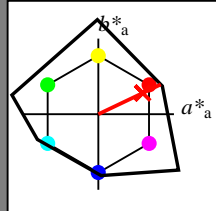
für Buntton  $h^* = lab \cdot h = 25/360 = 0.071$ 

LAB\*LCH, LAB\*NCH

D65: Buntton R

LCH\*Ma: 48 91 25

olv\*Ma: 1.0 0.02 0.0

CIELAB-Helligkeit  $L^*$ 

%Umfang

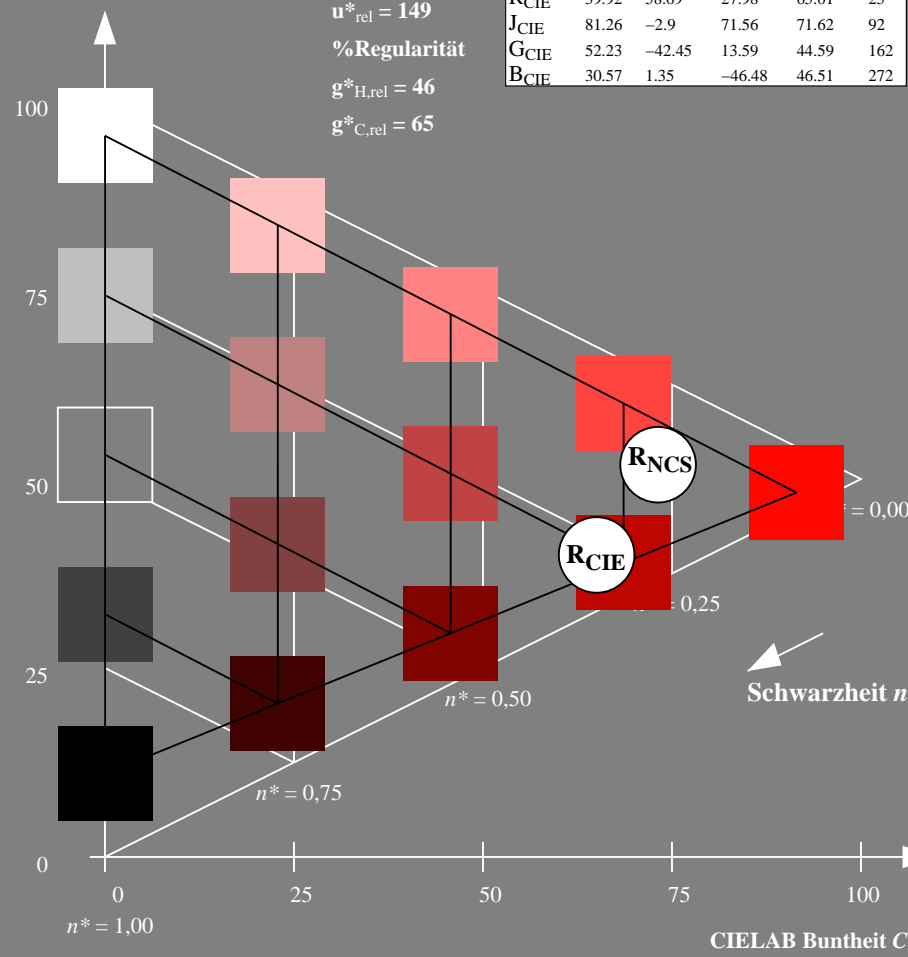
 $u^*_{rel} = 149$ 

%Regularität

 $g^*_{H,rel} = 46$  $g^*_{C,rel} = 65$ 

NCS11; adaptierte CIELAB-Daten

	$L^*=L^*_a$	$a^*_a$	$b^*_a$	$C^*_{ab,a}$	$h^*_{ab,a}$
R <sub>Ma</sub>	47.15	84.64	37.25	92.48	24
J <sub>Ma</sub>	91.37	-1.27	125.03	125.03	91
G <sub>Ma</sub>	63.07	-114.28	25.35	117.06	167
G50B <sub>Ma</sub>	59.47	-80.6	-33.45	87.28	203
B <sub>Ma</sub>	49.01	3.65	-81.19	81.28	273
B50R <sub>Ma</sub>	44.06	106.09	-73.93	129.32	325
N <sub>Ma</sub>	10.99	0.0	0.0	0.0	0
W <sub>Ma</sub>	95.41	0.0	0.0	0.0	0
R <sub>CIE</sub>	39.92	58.69	27.98	65.01	25
J <sub>CIE</sub>	81.26	-2.9	71.56	71.62	92
G <sub>CIE</sub>	52.23	-42.45	13.59	44.59	162
B <sub>CIE</sub>	30.57	1.35	-46.48	46.51	272



TG390-7, 5 stufige Reihen für konstanten CIELAB Buntton 25/360 = 0.071 (links)

Ausgabe: Farbmimetrisches Reflexions-System NCS11

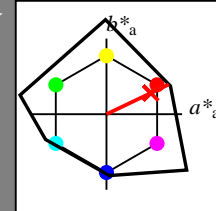
für Buntton  $h^* = lab \cdot h = 25/360 = 0.071$ 

LAB\*LCH, LAB\*NCH

D65: Buntton R

LCH\*Ma: 48 91 25

olv\*Ma: 1.0 0.02 0.0

CIELAB-Helligkeit  $L^*$ 

%Umfang

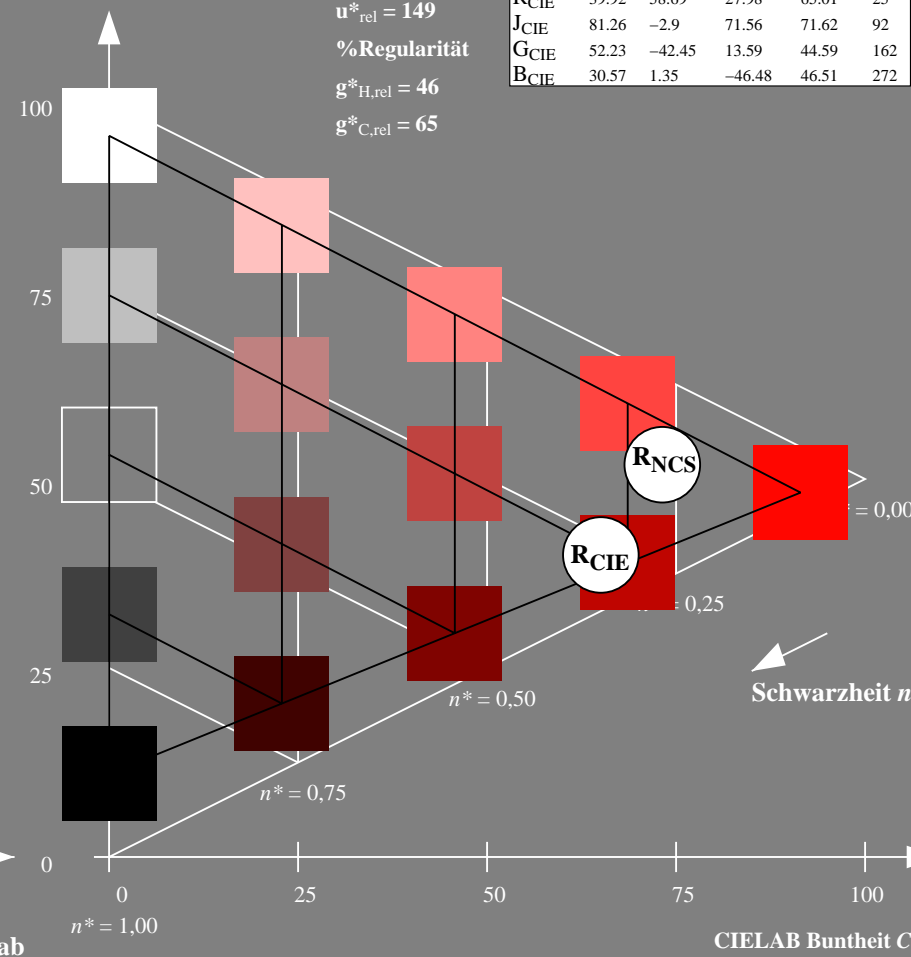
 $u^*_{rel} = 149$ 

%Regularität

 $g^*_{H,rel} = 46$  $g^*_{C,rel} = 65$ 

NCS11; adaptierte CIELAB-Daten

	$L^*=L^*_a$	$a^*_a$	$b^*_a$	$C^*_{ab,a}$	$h^*_{ab,a}$
R <sub>Ma</sub>	47.15	84.64	37.25	92.48	24
J <sub>Ma</sub>	91.37	-1.27	125.03	125.03	91
G <sub>Ma</sub>	63.07	-114.28	25.35	117.06	167
G50B <sub>Ma</sub>	59.47	-80.6	-33.45	87.28	203
B <sub>Ma</sub>	49.01	3.65	-81.19	81.28	273
B50R <sub>Ma</sub>	44.06	106.09	-73.93	129.32	325
N <sub>Ma</sub>	10.99	0.0	0.0	0.0	0
W <sub>Ma</sub>	95.41	0.0	0.0	0.0	0
R <sub>CIE</sub>	39.92	58.69	27.98	65.01	25
J <sub>CIE</sub>	81.26	-2.9	71.56	71.62	92
G <sub>CIE</sub>	52.23	-42.45	13.59	44.59	162
B <sub>CIE</sub>	30.57	1.35	-46.48	46.51	272



5 stufige Reihen für konstanten CIELAB Buntton 25/360 = 0.071 (rechts)

BAM-Prüfvorlage TG39; Farbmimetrik-Systeme ORS18 &amp; ORS18 input: olv\* setrgbcolor

D65: Koordinaten-Systeme von 5stufigen Farbreihen für 10 Bunttoninput: Startup (S) data dependend

Eingabe: Farbmatisches Reflexions-System NCS11

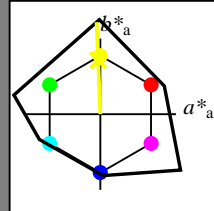
für Buntton  $h^* = lab \cdot h = 92/360 = 0.256$ 

LAB\*LCH, LAB\*NCH

D65: Buntton J

LCH\*Ma: 90 122 92

olv\*Ma: 0.97 1.0 0.0



NCS11; adaptierte CIELAB-Daten

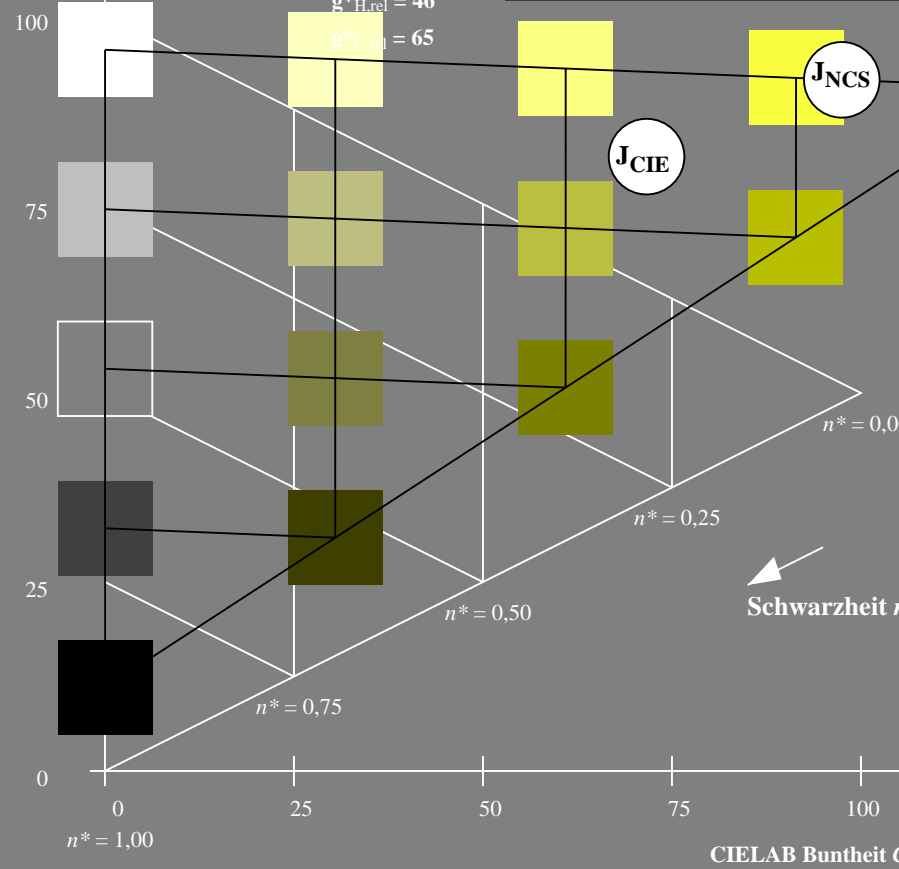
	$L^* = L^*_a$	$a^*_a$	$b^*_a$	$C^*_{ab,a}$	$h^*_{ab,a}$
R <sub>Ma</sub>	47.15	84.64	37.25	92.48	24
J <sub>Ma</sub>	91.37	-1.27	125.03	125.03	91
G <sub>Ma</sub>	63.07	-114.28	25.35	117.06	167
G50B <sub>Ma</sub>	59.47	-80.6	-33.45	87.28	203
B <sub>Ma</sub>	49.01	3.65	-81.19	81.28	273
B50R <sub>Ma</sub>	44.06	106.09	-73.93	129.32	325
N <sub>Ma</sub>	10.99	0.0	0.0	0.0	0
W <sub>Ma</sub>	95.41	0.0	0.0	0.0	0
R <sub>CIE</sub>	39.92	58.69	27.98	65.01	25
J <sub>CIE</sub>	81.26	-2.9	71.56	71.62	92
G <sub>CIE</sub>	52.23	-42.45	13.59	44.59	162
B <sub>CIE</sub>	30.57	1.35	-46.48	46.51	272

CIELAB-Helligkeit  $L^*$ 

%Umfang

 $u^*_{rel} = 149$ 

%Regularität

 $g^*_{H,rel} = 46$  $g^*_{C,rel} = 65$ 

TG39-7, 5 stufige Reihen für konstanten CIELAB Buntton 92/360 = 0.256 (links)

BAM-Prüfvorlage TG39; Farbmatrik-Systeme ORS18 &amp; ORS18 input: olv\* setrgbcolor

D65: Koordinaten-Systeme von 5stufigen Farbreihen für 10 Bunttoninput: Startup (S) data dependend

Ausgabe: Farbmatisches Reflexions-System NCS11

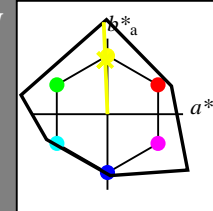
für Buntton  $h^* = lab \cdot h = 92/360 = 0.256$ 

LAB\*LCH, LAB\*NCH

D65: Buntton J

LCH\*Ma: 90 122 92

olv\*Ma: 0.97 1.0 0.0



NCS11; adaptierte CIELAB-Daten

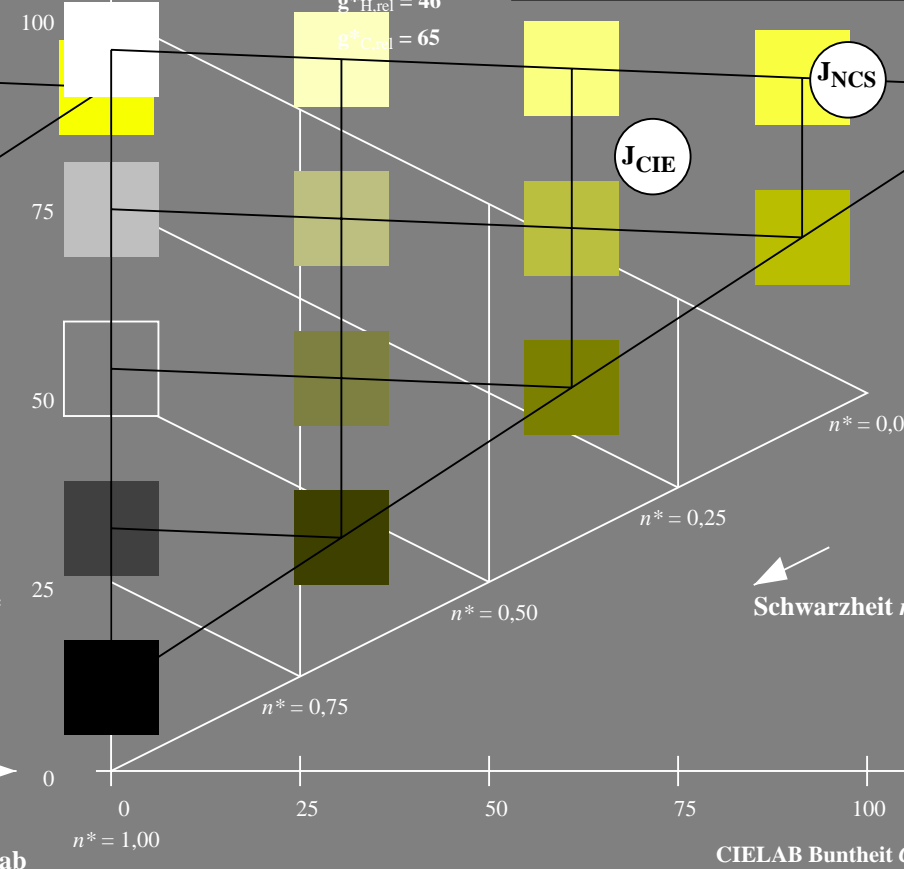
	$L^* = L^*_a$	$a^*_a$	$b^*_a$	$C^*_{ab,a}$	$h^*_{ab,a}$
R <sub>Ma</sub>	47.15	84.64	37.25	92.48	24
J <sub>Ma</sub>	91.37	-1.27	125.03	125.03	91
G <sub>Ma</sub>	63.07	-114.28	25.35	117.06	167
G50B <sub>Ma</sub>	59.47	-80.6	-33.45	87.28	203
B <sub>Ma</sub>	49.01	3.65	-81.19	81.28	273
B50R <sub>Ma</sub>	44.06	106.09	-73.93	129.32	325
N <sub>Ma</sub>	10.99	0.0	0.0	0.0	0
W <sub>Ma</sub>	95.41	0.0	0.0	0.0	0
R <sub>CIE</sub>	39.92	58.69	27.98	65.01	25
J <sub>CIE</sub>	81.26	-2.9	71.56	71.62	92
G <sub>CIE</sub>	52.23	-42.45	13.59	44.59	162
B <sub>CIE</sub>	30.57	1.35	-46.48	46.51	272

CIELAB-Helligkeit  $L^*$ 

%Umfang

 $u^*_{rel} = 149$ 

%Regularität

 $g^*_{H,rel} = 46$  $g^*_{C,rel} = 65$ 

5 stufige Reihen für konstanten CIELAB Buntton 92/360 = 0.256 (rechts)



Eingabe: Farbmétrisches Reflexions-System NCS11

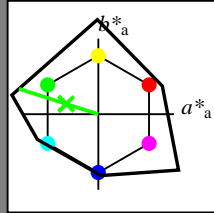
für Buntton  $h^* = lab \cdot h = 162/360 = 0.451$ 

LAB\*LCH, LAB\*NCH

D65: Buntton G

LCH\*Ma: 65 110 162

olv\*Ma: 0.08 1.0 0.0



NCS11; adaptierte CIELAB-Daten

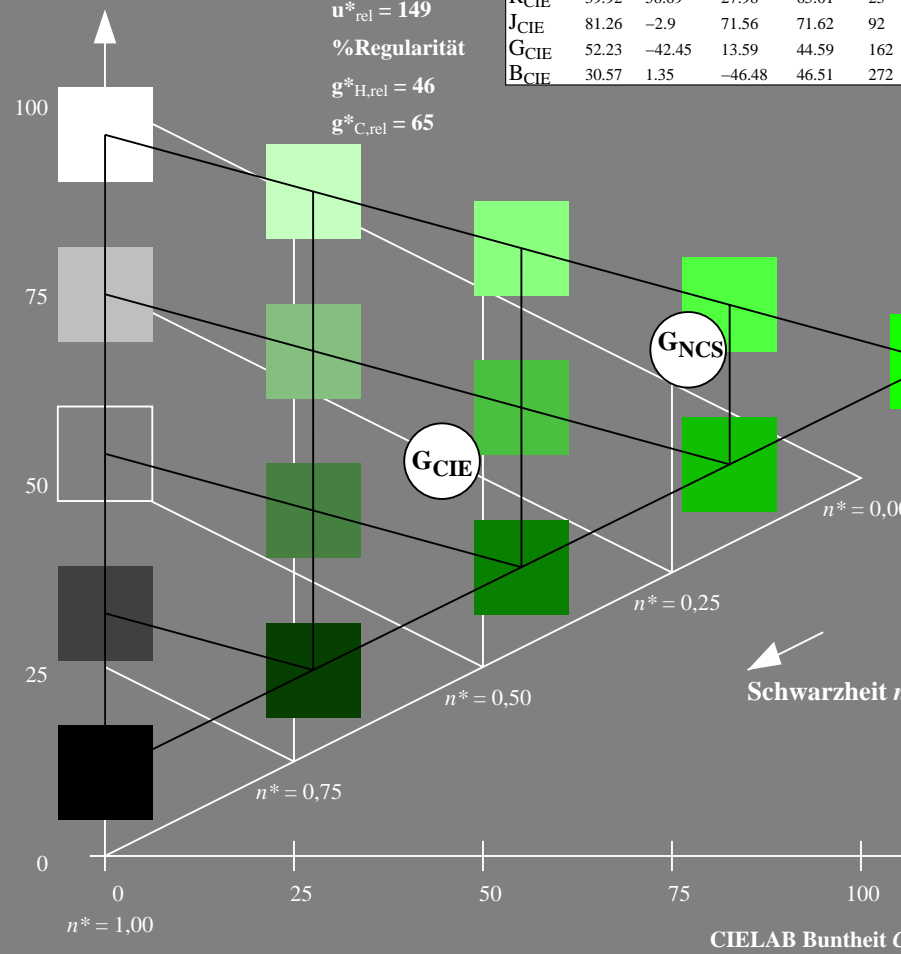
	$L^*=L_a^*$	$a_a^*$	$b_a^*$	$C_{ab,a}^*$	$h_{ab,a}^*$
R <sub>Ma</sub>	47.15	84.64	37.25	92.48	24
J <sub>Ma</sub>	91.37	-1.27	125.03	125.03	91
G <sub>Ma</sub>	63.07	-114.28	25.35	117.06	167
G50B <sub>Ma</sub>	59.47	-80.6	-33.45	87.28	203
B <sub>Ma</sub>	49.01	3.65	-81.19	81.28	273
B50R <sub>Ma</sub>	44.06	106.09	-73.93	129.32	325
N <sub>Ma</sub>	10.99	0.0	0.0	0.0	0
W <sub>Ma</sub>	95.41	0.0	0.0	0.0	0
R <sub>CIE</sub>	39.92	58.69	27.98	65.01	25
J <sub>CIE</sub>	81.26	-2.9	71.56	71.62	92
G <sub>CIE</sub>	52.23	-42.45	13.59	44.59	162
B <sub>CIE</sub>	30.57	1.35	-46.48	46.51	272

CIELAB-Helligkeit  $L^*$ 

%Umfang

 $u_{rel}^* = 149$ 

%Regularität

 $g_{H,rel}^* = 46$  $g_{C,rel}^* = 65$ 

TG390-7, 5 stufige Reihen für konstanten CIELAB Buntton 162/360 = 0.451 (links)

BAM-Prüfvorlage TG39; Farbmétrik-Systeme ORS18 &amp; ORS18 input: olv\* setrgbcolor

D65: Koordinaten-Systeme von 5stufigen Farbreihen für 10 Bunttoninput: Startup (S) data dependend

Ausgabe: Farbmétrisches Reflexions-System NCS11

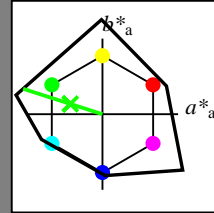
für Buntton  $h^* = lab \cdot h = 162/360 = 0.451$ 

LAB\*LCH, LAB\*NCH

D65: Buntton G

LCH\*Ma: 65 110 162

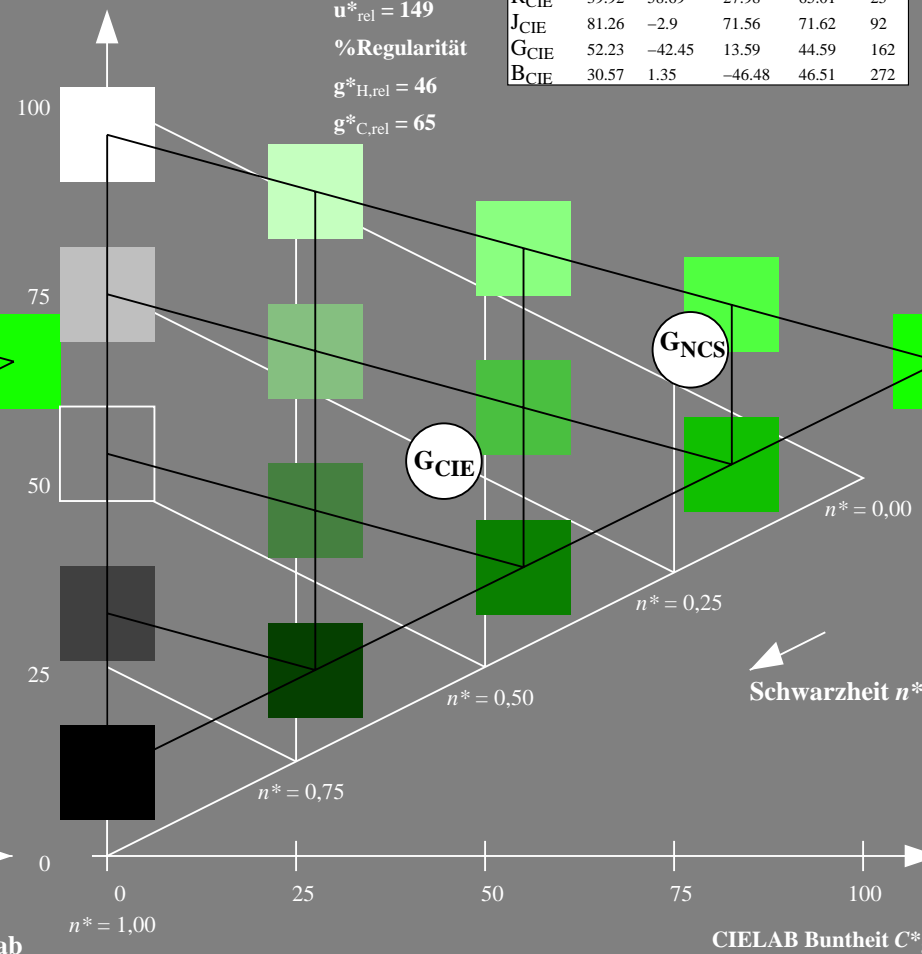
olv\*Ma: 0.08 1.0 0.0

CIELAB-Helligkeit  $L^*$ 

%Umfang

 $u_{rel}^* = 149$ 

%Regularität

 $g_{H,rel}^* = 46$  $g_{C,rel}^* = 65$ 

5 stufige Reihen für konstanten CIELAB Buntton 162/360 = 0.451 (rechts)

Eingabe: Farbmimetrisches Reflexions-System NCS11

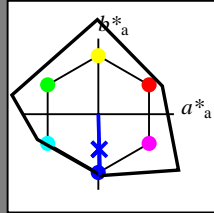
für Buntton  $h^* = lab \cdot h = 272/360 = 0.755$ 

LAB\*LCH, LAB\*NCH

D65: Buntton B

LCH\*Ma: 49 80 272

olv\*Ma: 0.0 0.02 1.0



NCS11; adaptierte CIELAB-Daten

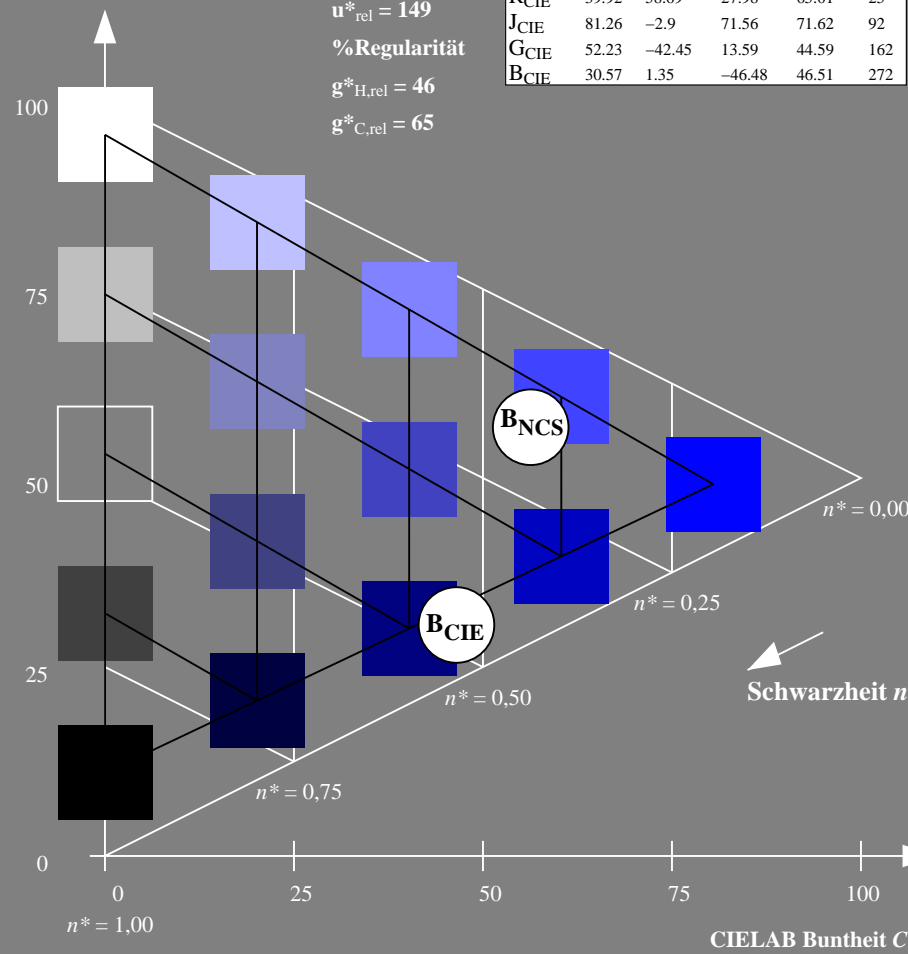
	$L^*=L_a^*$	$a_a^*$	$b_a^*$	$C_{ab,a}^*$	$h_{ab,a}^*$
R <sub>Ma</sub>	47.15	84.64	37.25	92.48	24
J <sub>Ma</sub>	91.37	-1.27	125.03	125.03	91
G <sub>Ma</sub>	63.07	-114.28	25.35	117.06	167
G50B <sub>Ma</sub>	59.47	-80.6	-33.45	87.28	203
B <sub>Ma</sub>	49.01	3.65	-81.19	81.28	273
B50R <sub>Ma</sub>	44.06	106.09	-73.93	129.32	325
N <sub>Ma</sub>	10.99	0.0	0.0	0.0	0
W <sub>Ma</sub>	95.41	0.0	0.0	0.0	0
R <sub>CIE</sub>	39.92	58.69	27.98	65.01	25
J <sub>CIE</sub>	81.26	-2.9	71.56	71.62	92
G <sub>CIE</sub>	52.23	-42.45	13.59	44.59	162
B <sub>CIE</sub>	30.57	1.35	-46.48	46.51	272

CIELAB-Helligkeit  $L^*$ 

%Umfang

 $u_{rel}^* = 149$ 

%Regularität

 $g_{H,rel}^* = 46$  $g_{C,rel}^* = 65$ TG390-7, 5 stufige Reihen für konstanten CIELAB Buntton  $272/360 = 0.755$  (links)

Ausgabe: Farbmimetrisches Reflexions-System NCS11

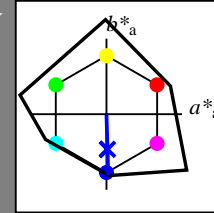
für Buntton  $h^* = lab \cdot h = 272/360 = 0.755$ 

LAB\*LCH, LAB\*NCH

D65: Buntton B

LCH\*Ma: 49 80 272

olv\*Ma: 0.0 0.02 1.0



NCS11; adaptierte CIELAB-Daten

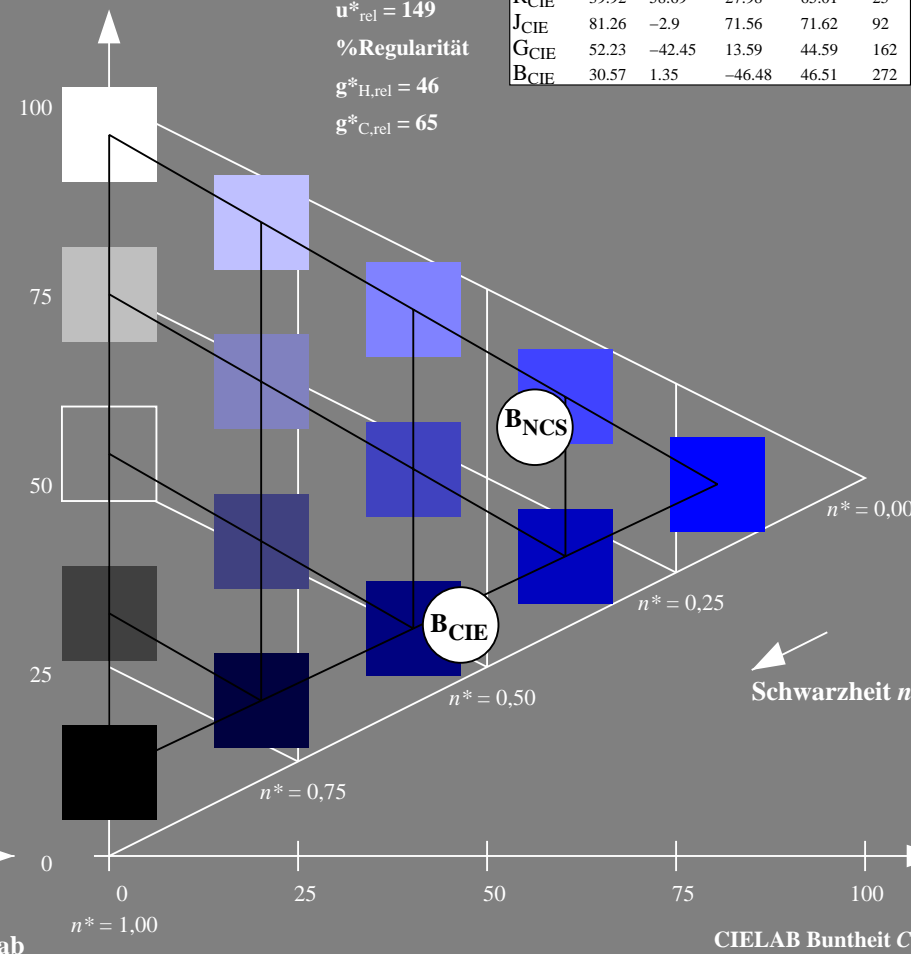
	$L^*=L_a^*$	$a_a^*$	$b_a^*$	$C_{ab,a}^*$	$h_{ab,a}^*$
R <sub>Ma</sub>	47.15	84.64	37.25	92.48	24
J <sub>Ma</sub>	91.37	-1.27	125.03	125.03	91
G <sub>Ma</sub>	63.07	-114.28	25.35	117.06	167
G50B <sub>Ma</sub>	59.47	-80.6	-33.45	87.28	203
B <sub>Ma</sub>	49.01	3.65	-81.19	81.28	273
B50R <sub>Ma</sub>	44.06	106.09	-73.93	129.32	325
N <sub>Ma</sub>	10.99	0.0	0.0	0.0	0
W <sub>Ma</sub>	95.41	0.0	0.0	0.0	0
R <sub>CIE</sub>	39.92	58.69	27.98	65.01	25
J <sub>CIE</sub>	81.26	-2.9	71.56	71.62	92
G <sub>CIE</sub>	52.23	-42.45	13.59	44.59	162
B <sub>CIE</sub>	30.57	1.35	-46.48	46.51	272

CIELAB-Helligkeit  $L^*$ 

%Umfang

 $u_{rel}^* = 149$ 

%Regularität

 $g_{H,rel}^* = 46$  $g_{C,rel}^* = 65$ 5 stufige Reihen für konstanten CIELAB Buntton  $272/360 = 0.755$  (rechts)

BAM-Prüfvorlage TG39; Farbmimetrik-Systeme ORS18 &amp; ORS18 input: olv\* setrgbcolor

D65: Koordinaten-Systeme von 5stufigen Farbreihen für 10 Bunttoninput: Startup (S) data dependend